

**ПРЯМОЕ ИЗМЕРЕНИЕ РЕШЕТОЧНОГО И ДЕФЕКТНОГО ВКЛАДОВ  
В СПИН-РЕШЕТОЧНУЮ РЕЛАКСАЦИЮ КВАДРУПОЛЬНЫХ ЯДЕР  
В КРИСТАЛЛАХ GaAs И NaI**

*П. Ю. Ефиценко, И. Мавлоназаров, В. М. Микушев, Е. В. Чарная*

На примере кристаллов GaAs и NaI демонстрируется эффект подавления дефектного вклада в ядерную спин-решеточную релаксацию и проводится разделение дефектного и решеточного вкладов, основанное на использовании вариантов двойных ядерных резонансов — квадрупольного насыщения линии ЯМР электрическим и акустическим полями.

Одним из наиболее важных параметров радиоспектроскопии является время ядерной спин-решеточной релаксации (CPP)  $T_1$ . Практически во всех реальных твердых телах (как кристаллических, так и аморфных) время CPP определяется вкладами двух конкурирующих механизмов: «решеточного», обеспечивающего релаксацию в идеальных образцах, и дефектного, идущего за счет имеющихся в образце примесей или собственных дефектов [1]. Суммарный процесс CPP в

целом характеризуется временем  $T_1^\Sigma = \left[ \left( T_1' \right)^{-1} + \left( T_1^d \right)^{-1} \right]^{-1}$ , где  $T_1'$  и  $T_1^d$  — соответственно решеточный и дефектный вклады. До последнего времени не представлялось возможным провести прямое разделение  $T_1'$  и  $T_1^d$  в одном образце. Выделение дефектного вклада осуществлялось либо в рамках имеющихся модельных представлений о временных, температурных или полевых зависимостях восстановления сигнала намагниченности [1–3], либо на основе сравнения с образцами, считающимися совершенными. Оба этих способа носят оценочный характер и приводят к неопределенности в разделении  $T_1'$  и  $T_1^d$ . В работе [4] на примере кристаллов GaAs был предложен принципиально новый метод, использующий двойные резонансы и позволяющий непосредственно измерять времена  $T_1'$  и  $T_1^d$  для квадрупольных ядер. В настоящей статье приводятся в более полном виде результаты выделения составляющих CPP для кристаллов GaAs, частично вошедшие в [4], а также данные исследования решеточного и дефектного вкладов в CPP для кристаллов NaI.

Решеточная компонента скорости CPP ядер, имеющих спин  $I > 1/2$  и, следовательно, обладающих электрическим квадрупольным моментом, в диэлектриках обусловлена взаимодействием ядерных квадрупольей с динамическими градиентами электрических внутрекристаллических полей, возникающими при тепловых колебаниях атомов. Такой механизм, очевидно, приводит к релаксации, однородной по объему. Дефектная ядерная CPP реализуется за счет того, что вблизи имеющихся в образце парамагнитных примесей или других дефектов релаксационные процессы идут на несколько порядков быстрее, чем в основном объеме. Вследствие этого локальная обратная спиновая температура в околодефектной области  $\alpha_{loc}$ , пропорциональная локальной спиновой намагниченности, ближе к равновесному значению, равному обратной температуре решетки  $\alpha_0$ , чем средняя по объему величина  $\langle \alpha \rangle$ , пропорциональная усредненному значению намагниченности спино-

вой системы  $|\alpha_{loc} - \alpha_0| < |\langle a \rangle - \alpha_0|$ . Локальное изменение спиновой температуры распространяется на весь объем образца посредством спиновой диффузии и только благодаря ее участию оказывается на скорости изменения  $\langle a \rangle$  [3]. Для наиболее распространенного способа измерения времени CPP по наблюдению восстановления сигнала ЯМР после его импульсного насыщения выполняется соотношение  $\alpha_{loc} > \langle a \rangle$ .

Сущность предложенного в [4] метода прямого разделения и измерения времен  $T_1^\Sigma$ ,  $T_1'$  и  $T_1^d$  в одном образце состоит в том, что если с помощью дополнительного внешнего воздействия уменьшить обратную спиновую температуру около дефектов до значения  $\alpha_{loc} \approx 0$ , т. е. насытить околодефектную область, то канал дефектной релаксации перекроется и восстановление средней по объему намагниченности будет определяться только решеточным механизмом, что даст возможность измерить  $T_1'$ . Время  $T_1^\Sigma$  измеряется в отсутствие дополнительного насыщения, а дефектный вклад  $T_1^d$  рассчитывается по формуле

$$T_1^d = \left[ \left( T_1^\Sigma \right)^{-1} - \left( T_1' \right)^{-1} \right]^{-1}. \text{ Как показано в серии работ [5-8], эффективный локальный (около дефектов) перегрев спин-системы квадрупольных ядер возникает при использовании известных вариантов двойных ядерных резонансов: электрическом и акустическом насыщении линии ЯМР.}$$

В диэлектрических материалах при возбуждении переходов между уровнями ЯМР (или ЯКР) переменными электрическими или акустическими полями с изменением магнитного квантового числа на 2 основным каналом связи является взаимодействие индуцируемых градиентов электрических внутрикристаллических полей с квадрупольными моментами ядер [9, 10]. При этом для большинства исследованных кристаллов вероятность индуцированных переходов, а также отношение вероятности индуцированных переходов к вероятности релаксационных переходов около дефектов значительно больше, чем в регулярной решетке, что, в частности, приводит к особенностям амплитудных, ориентационных, временных и температурных зависимостей стационарного и импульсного электрического и акустического воздействия на ядерные спин-системы [5-8, 11]. Таким образом, около дефектов достигается степень насыщения электрическим и акустическим полями значительно выше, чем в основном объеме образца. Следовательно, если производить измерения  $T_1$  обычным образом в условии стационарного дополнительного насыщения, то начиная с некоторого уровня насыщения, определяемого отношением  $\langle a \rangle / \alpha_0$ ,  $\alpha_{loc}$ , станет близкой к нулю и произойдет отключение дефектной релаксации. Подчеркнем, что полное отключение дефектной релаксации происходит, только если  $\alpha_{loc} \approx 0$ . Если  $\alpha_{loc} > 0$ , то восстановление сигнала намагниченности от нуля до равновесного в условии насыщения будет определяться временем  $T_1^\Sigma$  до того момента, когда  $\langle a \rangle$  сравняется с  $\alpha_{loc}$  и перекроется канал дефектной релаксации, после чего дальнейшее восстановление  $\langle a \rangle$  будет характеризоваться временем  $T_1'$ . Таким образом, при слабом насыщении, когда  $\alpha_{loc} \approx \alpha_0$ , весь процесс восстановления сигнала ЯМР происходит со временем  $T_1^\Sigma$ .

Разделение времен CPP в кристалле GaAs производилось посредством электрического насыщения линии ЯМР, так как эти кристаллы являются пьезоэлектриками и приложение внешнего электрического поля приводит к появлению градиентов внутрикристаллических полей [7]. Исследовались высокоомные номинально чистые и легированные ионами  $\text{Cr}^{2+}$  и  $\text{Cu}^{2+}$  с концентрацией  $10^{-3}$  ат. % кристаллы. Образцы имели вид пластин, вырезанных перпендикулярно оси [100]. Для создания электрического поля, возбуждающего переходы на двойной ларморовской частоте, они помещались между обкладками плоского конденсатора, при этом  $E \parallel [100]$ . Измерения производились на импульсном спектрометре ЯМР ИСП-1 в магнитном поле с индукцией  $B = 0.42$  Т при температуре 77 К. Вектор  $B$  лежал в плоскости (001) кристаллов, и образец мог поворачиваться вокруг оси [001].

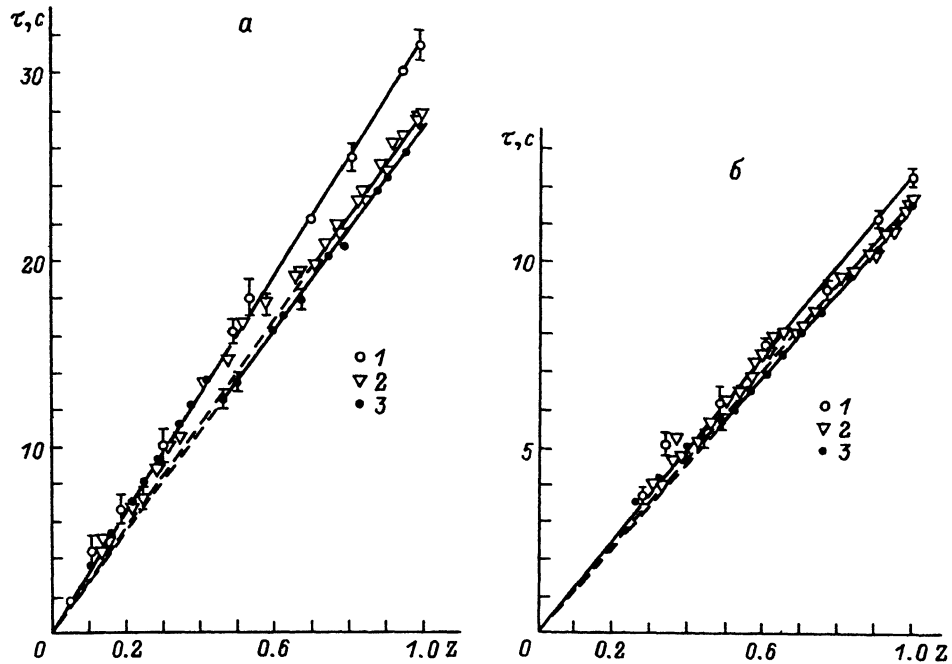


Рис. 1. Зависимость времени восстановления стационарной намагниченности  $\tau$  от фактора электрического насыщения  $Z$  при  $E \parallel B$  для изотопов  $Ga^{71}$  (a),  $Ga^{69}$  (b) в кристалле GaAs: 1 — нелегированном, 2 — легированном хромом, 3 — легированном медью.

Измерялось время восстановления сигнала намагниченности  $\tau$  изотопов  $Ga^{69}$  и  $Ga^{71}$  (спин  $I = 3/2$ ) после полного импульсного магнитного насыщения сигналов ЯМР в зависимости от фактора электрического насыщения  $Z = \langle \alpha \rangle_{st} / \alpha_0$ , где  $\langle \alpha \rangle_{st}$  — значение  $\langle \alpha \rangle$  в стационарных условиях. При этом следует учесть, что время  $\tau$  связано с  $T_1$  соотношением  $\tau = ZT_1$ . Действительно, из уравнения для изменения обратной спиновой температуры  $\alpha$  под действием стационарного возбуждения и релаксации нетрудно получить зависимость  $\alpha$  от времени  $\Delta t$  после начала восстановления:  $\alpha = \alpha_{st} [1 - \exp(-\Delta t/ZT_1)]$ , откуда и следует выражение для  $\tau$ .

Результаты измерений  $\tau$  для ориентаций  $E \parallel B$  и  $E \perp B$  в кристаллах GaAs представлены на рис. 1, 2. Из этих рисунков видно, что в чистом образце зависимость  $\tau(Z)$  имеет линейный характер  $\tau = T_1^{\Sigma}Z$  и для изотопа  $Ga^{71}$   $T_1^{\Sigma} = 31.4 \pm 0.5$  с, а для  $Ga^{69}$   $T_1^{\Sigma} = 12.4 \pm 0.2$  с. На основании линейности  $\tau(Z)$  и данных для скорости CPP [7] можно полагать, что в нелегированном кристалле  $T_1^{\Sigma} = T_1^l$  и  $T_1^d \rightarrow \infty$ . В GaAs, легированном хромом, при  $Z = 1$  для  $Ga^{71}$   $T_1^{\Sigma} = 27.8 \pm 0.5$  с и для  $Ga^{69}$   $T_1^{\Sigma} = 11.5 \pm 0.2$  с. В GaAs : Cu при  $Z = 1$  для  $Ga^{71}$   $T_1^{\Sigma} = 27.0 \pm 0.4$  с и для  $Ga^{69}$   $T_1^{\Sigma} = 11.4 \pm 0.2$  с. При уменьшении  $Z$  графики  $\tau(Z)$  выходят на прямые, соответствующие чистому образцу. По наклону линейных участков легко видеть, что  $T_1^l$  в легированных кристаллах совпадает с временем  $T_1^{\Sigma}$  для чистого GaAs. Используя значения  $T_1^{\Sigma}$  и  $T_1^l$ , можно рассчитать дефектный вклад: в образце, легированном хромом, для  $Ga^{71}$   $T_1^d = 240 \pm 40$  с и для  $Ga^{69}$   $T_1^d = 160 \pm 50$  с; в образце, легированном медью, для  $Ga^{71}$   $T_1^d = 190 \pm 40$  с и для  $Ga^{69}$   $T_1^d = 140 \pm 50$  с. Как видно, относительная роль дефектной релаксации для  $Ga^{69}$  меньше, чем для  $Ga^{71}$ , что вполне согласуется с меньшим квадрупольным моментом изотопа  $Ga^{71}$ . Из рис. 1, 2 следует, что отключение дефектной CPP

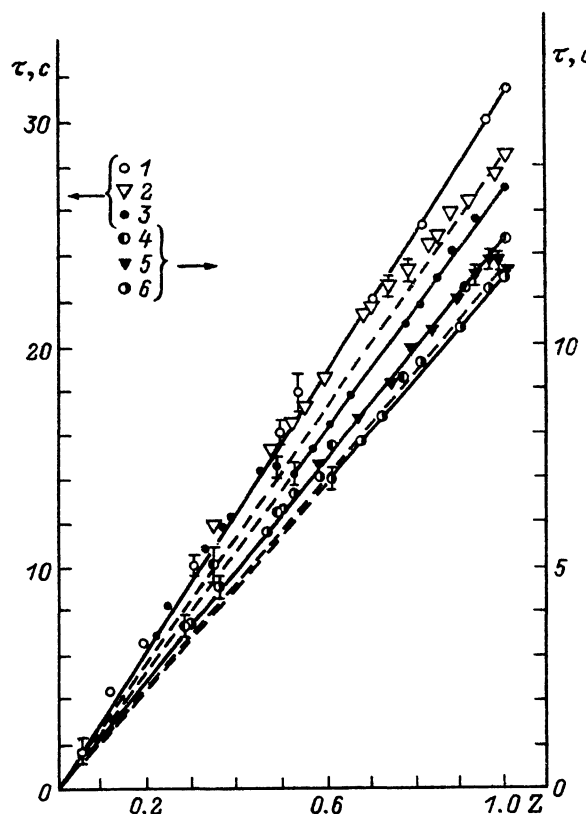


Рис. 2. Зависимость  $\tau$  от  $Z$  при  $E \perp B$  для изотопов  $Ga^{71}$  (1–3) и  $Ga^{69}$  (4–6) в кристалле GaAs: 1, 4 — нелегированном; 2, 5 — легированном хромом; 3, 6 — легированном медью.

происходит для обеих ориентаций вектора  $E$  относительно  $B$ . Однако достигается это при различных степенях насыщения. Так, например, для изотопа  $Ga^{71}$  в GaAs : Cr при ориентации  $E \parallel B$  дефектная релаксация отключается на уровне насыщения  $Z = 0.6$ , тогда как при ориентации  $E \perp B$  на уровне насыщения  $Z \approx 0.85$ . Специально проведенные исследования амплитудных зависимостей насыщения, т. е. зависимостей фактора  $Z$  от амплитуды напряженности внешнего электрического поля  $E_0$ , показали, что ядерные спин-системы  $Ga^{71}$  и  $Ga^{69}$  значительно легче насыщаются в ориентации  $E \parallel B$ . В частности, система  $Ga^{71}$  в GaAs : Cr насыщается до уровня  $Z = 0.7$  для  $E \parallel B$  при  $E_0 \approx 1.6$  кВ/м и для  $E \perp B$  при  $E_0 \approx 4$  кВ/м. Такой результат согласуется с наблюдавшейся ранее [7] анизотропией индуцированных электрическим полем квадрупольных переходов в кристаллах GaAs. При этом величины  $E_0$ , при которых перекрывается CPP через дефекты, практически совпадают для ориентаций  $E \parallel B$  и  $E \perp B$ . В случае  $Ga^{71}$  для GaAs : Cr соответствующее значение  $E_0 = 2.1$  кВ/м. По-видимому, взаимодействие спинов с переменным электрическим полем в околодефектной области в достаточной степени изотропно, что согласуется с экспериментами по акустическому и электрическому ядерному резонансу в реальных кристаллах [6–8, 11] и с основными положениями теории квадрупольной спин-фононной связи через дефекты [5]. Поэтому уменьшение  $\alpha_{loc}$  достигается при одинаковых амплитудах  $E_0$  независимо от направления  $E$  относительно  $B$ .

Разделение времен CPP ядер  $Na^{23}$  ( $I = 3/2$ ) в номинально чистом кристалле NaI производилось с применением акустического насыщения линии ЯМР. Это

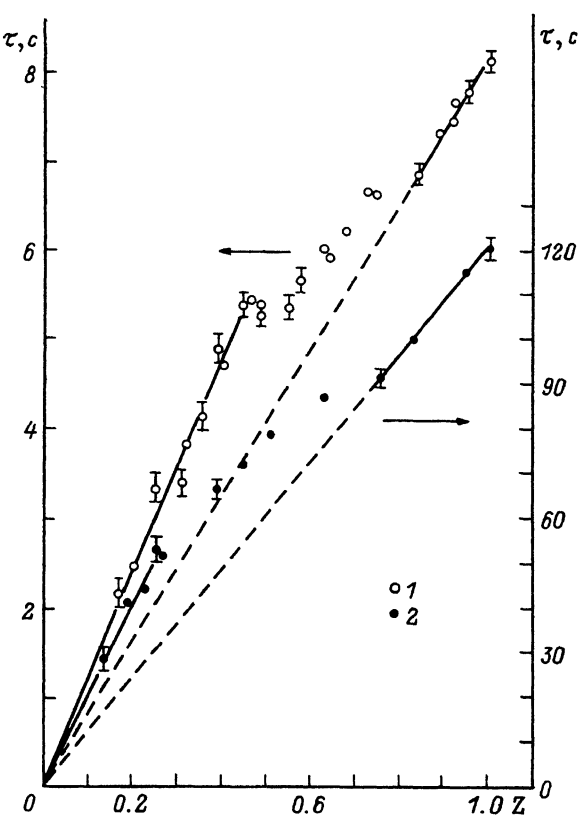


Рис. 3. Зависимость  $\tau$  от  $Z$  в кристалле NaI для ядер  $\text{Na}^{23}$  при температуре 290 (1) и 77 К (2).

единственный способ возбудить квадрупольные переходы, так как для NaI взаимодействие с внешним электрическим полем равно нулю [10]. Кристаллы NaI, даже выращенные при специальных условиях, как и другие щелочно-галоидные кристаллы, содержат значительное количество примесей. Вследствие этого измерение решеточной составляющей  $T_1'$  представляет собой сложную задачу, так как нет эталонного «чистого» образца. Таким образом, предложенный в [4] способ разделения времен СРР квадрупольных ядер в одном образце особенно существен по отношению к щелочно-галоидным кристаллам.

Исследуемый образец NaI имел форму цилиндра, вырезанного вдоль оси [100]. К одному основанию цилиндра приклеивался кварцевый пьезопреобразователь

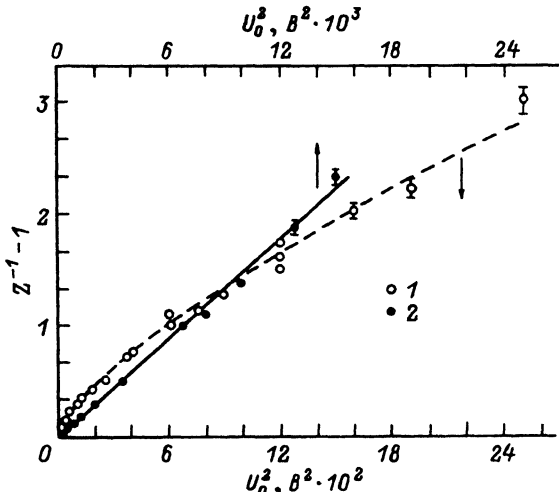


Рис. 4. Зависимость величины  $Z^{-1}-1$ , пропорциональной вероятности индуцированных переходов, от квадрата амплитуды напряжения на пьезопреобразователе  $U_0$  в кристалле NaI при комнатной температуре для ядер: 1 —  $\text{Na}^{23}$ , 2 —  $\text{I}^{127}$ .

зователь, с помощью которого возбуждался продольный ультразвук на удвоенной ларморовской частоте, равной 11 МГц. Второй конец цилиндра скальвался для создания в образце диффузного акустического поля, однородного по объему. Ось цилиндра ориентировалась перпендикулярно вектору  $B$ , при этом  $B \parallel$  оси [001]. Измерялись зависимости  $\tau$  ( $Z$ ) при двух температурах:  $T = 293$  и  $77$  К. Результаты представлены на рис. 3. При обеих температурах для малых уровней насыщения на графиках  $\tau$  ( $Z$ ) наблюдаются линейные участки, наклон которых определяется временем  $T_1^{\Sigma}$ . При комнатной температуре  $T_1^{\Sigma} = 8.1 \pm 0.2$  с. Это значение несколько больше приведенного в [12], что, вероятно, связано с лучшим качеством исследуемого образца. При  $77$  К  $T_1^{\Sigma} = 120 \pm 0.2$  с. С уменьшением  $Z$ , как и в легированных кристаллах GaAs, зависимость  $\tau$  ( $Z$ ) отклоняется от линейной, а затем снова выходит на прямой участок с большим наклоном. Учитывая представленные выше данные для GaAs, можно считать, что наклон вторых прямых участков позволяет рассчитать время  $T_1' : T_1' (293\text{ K}) = 12.1 \pm 0.5$  с и  $T_1' (77\text{ K}) = 200 \pm 20$  с. Отсюда  $T_1^d (293\text{ K}) = 24.5 \pm 1.5$  с и  $T_1^d (77\text{ K}) = 310 \pm 30$  с.

Проведенное разделение времен CPP в NaI подразумевает, что акустическое насыщение спин-системы ядер  $\text{Na}^{23}$  в околодефектной области значительно сильнее, чем в основном объеме кристалла. Как следует из результатов исследования квадрупольного спин-решеточного взаимодействия в других щелочно-галоидных кристаллах, дефектный механизм насыщения проявляется в изменении амплитудной зависимости индуцированных переходов [5–8, 11]. Это подтверждается проведенными измерениями зависимостей  $Z$  в NaI от амплитуды напряжения на пьезопреобразователе  $U_0$ . На рис. 4 представлены данные таких измерений для ядер  $\text{Na}^{23}$  и  $\text{I}^{127}$  при комнатной температуре. Для  $\text{I}^{127}$  зависимость  $(Z^{-1} - 1) (U_0)$  совпадает с теоретической  $(Z^{-1} - 1) \sim U_0^2$  для насыщения, идущего без участия дефектов. Для  $\text{Na}^{23}$  амплитудная зависимость имеет вид  $(Z^{-1} - 1) \sim U_0^{1/2}$ , что соответствует насыщению преимущественно через дефекты [5].

Таким образом, на примере кристаллов GaAs и NaI продемонстрирован новый метод разделения времен CPP, обусловленных решеточным и дефектным механизмами спин-решеточной связи.

### Список литературы

- [1] Абрагам А., Гольдман М. Ядерный магнетизм: порядок и беспорядок. М.: Мир, 1984.
- [2] Waugh J. S., Slichter C. P. // Phys. Rev. B. 1988. V. 37. N 8. P. 4337–4341; 1989. V. 40. N 6. P. 4203–4204.
- [3] Хуцишвили Г. Р. // УФН. 1965. Т. 87. № 2. С. 211–254.
- [4] Ефиценко П. Ю., Микушев В. М., Чарная Е. В. // Письма в ЖЭТФ. 1991. Т. 54. № 10. С. 583–585.
- [5] Антокольский Г. Л., Чарная Е. В., Шутилов В. А. // ФТТ. 1973. Т. 15. № 11. С. 3250–3261.
- [6] Бахрамов А., Столыпко А. Л., Чарная Е. В., Шутилов В. А. // ФТТ. 1986. Т. 28. № 3. С. 844–849.
- [7] Кулешов А. А., Микушев В. М., Столыпко А. Л., Чарная Е. В., Шутилов В. А. // ФТТ. 1986. Т. 28. № 11. С. 3262–3266.
- [8] Кулешов А. А., Столыпко А. Л., Чарная Е. В., Шутилов В. А. // ДАН СССР. 1987. Т. 293. № 6. С. 1361–1364.
- [9] Кессель А. Р. Ядерный акустический резонанс. М.: Наука, 1969. 215 с.
- [10] Blomberg N. // Science. 1961. V. 33. N 4. P. 1363–1367.
- [11] Кулешов А. А., Микушев В. М., Столыпко А. Л., Чарная Е. В. // Акустич. журн. 1989. Т. 35. № 3. С. 437–476.
- [12] Болеф Д. // Физическая акустика. Т. IVA / Под ред. У. Мэзона. М.: Мир, 1969.